

УДК 621.391.519.2

М. С. ХАЙРЕТДИНОВ

(Новосибирск)

ПРИМЕНЕНИЕ МЕТОДА ФАЗОВОГО ПОРТРЕТА  
К ОБНАРУЖЕНИЮ СЛАБЫХ СИГНАЛОВ НА ФОНЕ ШУМОВ

В многоканальных устройствах обработки информации часто возникает задача обнаружения коррелированных сигналов или же одного сигнала на фоне шумов с одновременным использованием двух или большего числа каналов. Использование обычного корреляционного приемника, пригодного в этом случае, как известно, связано со сложностями при реализации. В данной работе рассматривается более простой метод обнаружения сигналов в двухканальной системе — метод фазового портрета. Фазовый портрет представляет собой диаграмму, описываемую векторной суммой двух процессов, получаемых на выходах двухканальной системы. Свойства полученной таким образом диаграммы определяются корреляционной зависимостью между процессами, а в конечном итоге, как будет показано далее, соотношением сигнал/шум на выходе каждого из каналов и не зависят от спектра сигналов.

Полезные свойства фазового портрета начинают проявляться уже при малых отношениях сигнал/шум (порядка 0,1 и выше). Метод фазового портрета представляет собой один из вариантов оптимального обнаружителя и может быть использован применительно к достаточно сложным сигналам.

Пусть на выходах двухканальной системы имеем два случайных процесса  $\xi(t)$  и  $\eta(t)$  вида

$$\xi(t) = x(t) + n_x(t); \quad \eta(t) = y(t) + n_y(t), \quad (1)$$

где  $x(t)$ ,  $y(t)$  — детерминированные процессы (сигналы);  $n_x(t)$ ,  $n_y(t)$  — стационарные нормальные случайные широкополосные процессы (шум), не коррелированные между собой.

В общем случае  $x(t)$  и  $y(t)$  считаем коррелированными между собой в силу физических связей внутри объекта, от которого они поступают. Рассмотрим задачу обнаружения этих сигналов для частного случая, когда  $x(t) = E_{0x} \cos \omega_0 t$ ,  $y(t) = E_{0y} \cos (\omega_0 t + \varphi)$ , т. е. случай, когда один и тот же гармонический сигнал принимается по двум каналам. Как увидим в дальнейшем, выводы для этого допущения будут справедливы и в общем случае, когда  $x(t)$  и  $y(t)$  являются более сложными, коррелированными между собой сигналами.

Если  $\omega_0$  считать средней частотой спектров процессов  $\xi(t)$  и  $\eta(t)$  (т. е. спектр сигнала заключен в спектре шума), то (1) можно записать в виде

$$\xi(t) = E_x(t) \cos [\omega_0 t + \varphi_x(t)]; \quad \eta(t) = E_y(t) \cos [\omega_0 t + \varphi_y(t)], \quad (2)$$

где  $E_x(t)$ ,  $E_y(t)$  — соответствующие огибающие, а  $\varphi_x(t)$ ,  $\varphi_y(t)$  — фазы процессов.

Диаграмма, которую образует векторная сумма процессов  $\xi(t)$ ,  $\eta(t)$  представляет собой фазовый портрет в плоскости  $\vec{\xi}(t)$ ,  $\eta(t)$ , который описывается концом вектора  $\vec{E}(t) = \vec{E}_x(t) + \vec{E}_y(t)$  с углом наклона  $\gamma(t) = \arctg \frac{E_y(t)}{E_x(t)}$ .

В дальнейшем определим функции распределения  $W(E)$  и  $W(\gamma)$ , но прежде чем перейти к этому, найдем функции распределения  $W(\xi)$  и  $W(\eta)$ . Совокупность реализаций  $\xi(t)$  и  $\eta(t)$  —  $\xi_i(t)$  и  $\eta_i(t)$  — представляет собой сумму гармонического сигнала со случайной начальной фазой (считаем ее равномерно распределенной в пределах периода сигнала) и стационарного нормального шума и имеет функцию распределения вида [1]:

$$W(\xi) = \frac{1}{\sigma_{\text{ш}} \sqrt{2\pi}} e^{-\frac{\xi^2}{2\sigma_{\text{ш}}^2}} e^{-\frac{a_1}{2}} \left[ I_0 \left( \frac{a_1}{2} \right) I_0 \left( \sqrt{a_1} \frac{\xi}{\sigma_{\text{ш}}} \right) + \right. \\ \left. + 2 \sum_{n=1}^{\infty} (-1)^n I_n \left( \frac{a_1}{2} \right) I_{2n} \left( \sqrt{a_1} \frac{\xi}{\sigma_{\text{ш}}} \right) \right]; \\ W(\eta) = \frac{1}{\sigma_{\text{ш}} \sqrt{2\pi}} e^{-\frac{\eta^2}{2\sigma_{\text{ш}}^2}} e^{-\frac{a_2}{2}} \left[ I_0 \left( \frac{a_2}{2} \right) I_0 \left( \sqrt{a_2} \frac{\eta}{\sigma_{\text{ш}}} \right) + \right. \\ \left. + 2 \sum_{n=1}^{\infty} (-1)^n I_n \left( \frac{a_2}{2} \right) I_{2n} \left( \sqrt{a_2} \frac{\eta}{\sigma_{\text{ш}}} \right) \right]. \quad (3)$$

Здесь  $\sigma_{\text{ш}}$  — среднеквадратическое шумов, которое для обоих каналов выбираем одинаковыми;

$a_1 = \frac{E_{0x}^2}{2\sigma_{\text{ш}}^2}$  — отношение сигнал/шум в 1-м канале;

$a_2 = \frac{E_{0y}^2}{2\sigma_{\text{ш}}^2}$  — отношение сигнал/шум во 2-м канале;

$I_0$ ,  $I_n$ ,  $I_{2n}$  — функции Бесселя 1 рода от соответствующего аргумента.

Анализ выражений (3) показывает, что при достаточно малых  $a_1$  и  $a_2$  ( $< 1$ ) функции распределения  $W(\xi)$ ,  $W(\eta)$  приближаются к нормальнм:

$$W(\xi) = \frac{1}{\sigma_{\text{ш}} \sqrt{2\pi}} e^{-\frac{\xi^2}{2\sigma_{\text{ш}}^2}}; \quad W(\eta) = \frac{1}{\sigma_{\text{ш}} \sqrt{2\pi}} e^{-\frac{\eta^2}{2\sigma_{\text{ш}}^2}},$$

где  $\xi(t)$  и  $\eta(t)$  являются зависимыми между собой, так как коррелированы с коэффициентом корреляции

$$\rho(\tau) = \frac{\cos(\omega_0\tau + \varphi)}{\sqrt{1 + \frac{1}{a_1}} \sqrt{1 + \frac{1}{a_2}}}.$$

Вывод этого соотношения приведен в приложении.

Так как о степени коррелированности процессов  $\xi(t)$  и  $\eta(t)$  по виду фазового портрета можно судить при  $\tau=0$ , то будем использовать

$$\rho(0) = \frac{\cos \varphi}{\sqrt{1 + \frac{1}{a_1}} \sqrt{1 + \frac{1}{a_2}}}. \quad (4)$$

С учетом сказанного выше совместная функция распределения  $\xi(t)$  и  $\eta(t)$  примет вид [2]

$$W(\xi, \eta) = \frac{1}{2\pi\sigma_{\text{ш}}^2(1-\rho^2)} e^{-\frac{1}{2(1-\rho^2)} \left( \frac{\xi^2 - 2\rho\xi\eta + \eta^2}{\sigma_{\text{ш}}^2} \right)}. \quad (5)$$

При переходе к полярным координатам, где

$$\xi(t) = E(t) \cos \gamma(t), \quad \eta(t) = E(t) \sin \gamma(t), \quad (6)$$

с учетом формулы преобразования функции распределения [1] определим

$$W(E, \gamma) = W(\xi, \eta)E. \quad (7)$$

Преобразуем выражение при степенном показателе в (5) с учетом (6):

$$\xi^2 - 2\rho\xi\eta + \eta^2 = E^2 \cos^2 \gamma - 2E^2\rho \cos \gamma \sin \gamma + E^2 \sin^2 \gamma = E^2(1 - \rho \sin 2\gamma).$$

Теперь (7) можно записать так:

$$W(E, \gamma) = \frac{E}{2\pi\sigma_{\text{ш}}^2(1-\rho^2)} e^{-\frac{E^2}{2(1-\rho^2)\sigma_{\text{ш}}^2}(1-\rho \sin 2\gamma)}. \quad (8)$$

Проинтегрировав полученное выражение по  $\gamma$ , получим

$$W(E) = \frac{E}{2\pi\sigma_{\text{ш}}^2(1-\rho^2)} e^{-\frac{E^2}{2\sigma_{\text{ш}}^2(1-\rho^2)}} \int_{-\pi}^{\pi} e^{\alpha \sin 2\gamma} d\gamma,$$

где  $\alpha = \frac{E^2\rho}{2\sigma_{\text{ш}}^2(1-\rho^2)}$ . После замены подынтегрального выражения через ряды бесселевых функций найдем, что

$$W(E) = \frac{E}{\sigma_{\text{ш}}^2 \sqrt{1-\rho^2}} e^{-\frac{E^2}{2\sigma_{\text{ш}}^2(1-\rho^2)}} I_0(i\alpha). \quad (9)$$

Полученное выражение представляет собой обобщенное релеевское распределение. Проинтегрировав (8) по  $E$ , получим

$$W(\gamma) = \frac{1}{2\pi\sigma_{\text{ш}}^2 \sqrt{1-\rho^2}} \int_0^\infty E e^{-\frac{E^2}{2\sigma_{\text{ш}}^2(1-\rho^2)}(1-\rho \sin 2\gamma)} dE.$$

Вводя обозначение

$$\beta = \frac{1 - \rho \sin 2\gamma}{2\sigma_{\text{ш}}^2(1-\rho^2)},$$

найдем табличный интеграл

$$\int_0^{\infty} E e^{-\beta E^2} dE = \frac{1}{2\beta}.$$

Подставим его в выражение  $W(\gamma)$ :

$$W(\gamma) = \frac{1}{2\pi \sigma_{\text{ш}}^2 \sqrt{1-\rho^2}} \frac{\sigma_{\text{ш}}^2 (1-\rho^2)}{1-\rho \sin 2\gamma} = \frac{1}{2\pi} \frac{\sqrt{1-\rho^2}}{1-\rho \sin 2\gamma}. \quad (10)$$

Графики  $W(\gamma)$  при разных значениях коэффициентов корреляции  $\rho$  приведены на рис. 1. Следует отметить, что выражение (10) справедливо при условии, что угол  $\varphi$  — разность фаз между гармоническими сигналами — заключен в пределах  $(0 \div 90^\circ) + n \cdot 360^\circ$   $(270 \div 360^\circ) + n \cdot 360^\circ$ , так как при этом условии  $\rho \geq 0$ . Если  $\varphi$  меняется в пределах  $(90 \div 180^\circ) + n \cdot 360^\circ$ ,  $(180 \div 270^\circ) + n \cdot 360^\circ$ , то  $\rho \leq 0$  и функция распределения  $W(\gamma)$  будет симметрична относительно  $135^\circ$ :

$$W(\gamma) = \frac{1}{2\pi} \frac{\sqrt{1-\rho^2}}{1+|\rho| \sin 2\gamma}.$$

Из рассмотрения выражений (9) и (10) следует, что функции распределения  $W(E)$  и  $W(\gamma)$  независимы и характер поведения совместной функции распределения

$$W(E, \gamma) = W(E) W(\gamma)$$

при изменении  $\gamma$  в пределах  $(-180^\circ, +180^\circ)$  будет определяться  $W(\gamma)$ .

Как видно из (10) и рис. 1, при  $\rho=0$   $W(\gamma) = \frac{1}{2\pi}$ , т. е. значения  $\gamma$  равновероятны и фазовый портрет в этом случае должен представлять круг рассеяния. С увеличением  $\rho$  (см. рис. 1) фазовый портрет сжимается вокруг большой оси фигуры рассеяния, расположенной под углом  $45^\circ$  или  $135^\circ$  (в зависимости от знака  $\rho$ ) к горизонтали.

Вид  $W(\gamma)$  зависит только от коэффициента корреляции между сигналами и не зависит от спектра сигналов. Поэтому выводы относительно  $W(\gamma)$ , полученные для случая, когда  $x(t)$  и  $y(t)$  — гармонические сигналы, будут справедливы и для случая, когда  $x(t)$  и  $y(t)$  — более сложные, коррелированные между собой сигналы, например узкополосные.

Действительно, коэффициент корреляции между узкополосными сигналами на выходах двухканального избирательного приемного устройства определяется как [3]

$$\rho(\tau) = \int_0^{\infty} S_{\xi}(\omega) K_1(\omega) K_2(\omega) \cos [\omega \tau + \varphi_1(\omega) - \varphi_2(\omega)] d\omega. \quad (11)$$

Как и ранее, нам потребуется значение  $\rho(0)$ . Здесь  $S_{\xi}(\omega)$  — спектральная плотность процесса на входе;  $k_1(\omega)$  и  $k_2(\omega)$ ,  $\varphi_1(\omega)$  и  $\varphi_2(\omega)$  — амплитудно-частотные и фазовые характеристики соответственно 1-го и 2-го каналов.

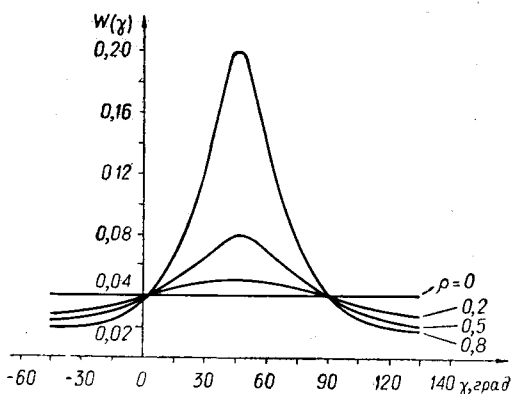


Рис. 1.

В пределах полосы пропускания избирательного приемного устройства фазовые характеристики  $\varphi_1(\omega)$  и  $\varphi_2(\omega)$  являются линейными и, следовательно, разность  $\varphi_1(\omega) - \varphi_2(\omega)$  при одинаковых частотных характеристиках обоих каналов будет постоянной. Таким образом, выражение (11) приближенно может быть рассмотрено как сумма коэффициентов взаимокорреляции между соответствующими частотными составляющими на выходах обоих каналов, заключенными в полосе пропускания приемного устройства, причем разность фаз между ними не будет зависеть от частоты.

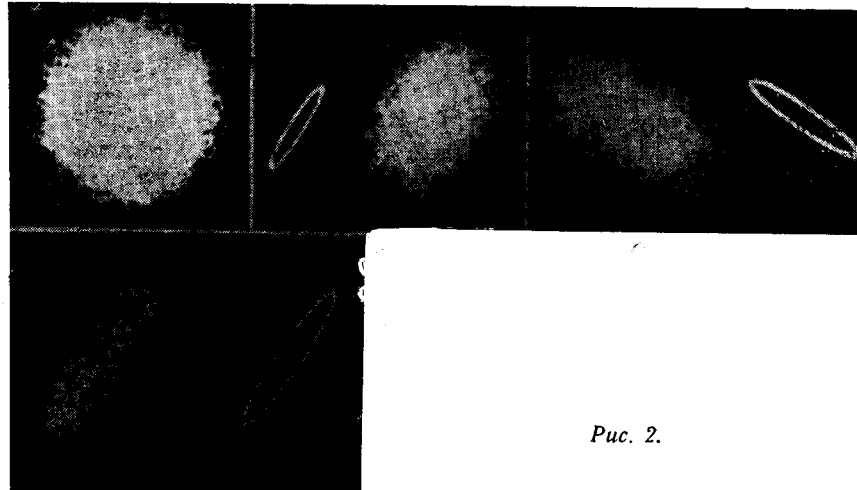


Рис. 2.

Экспериментально были получены фазовые портреты между процессами  $\xi(t)$  и  $\eta(t)$  в зависимости от коэффициента корреляции (4) между ними и ширины энергетического спектра процессов при условии, что шумы нормированы по среднеквадратическому, а отношения сигнал/шум в обоих каналах равны между собой. Частные виды их представлены на рис. 2, а, б, в, г ( $a_1=a_2=0$ ;  $a_1=a_2=0,2$ ;  $\varphi=20^\circ$ ;  $a_1=a_2=0,4$ ;

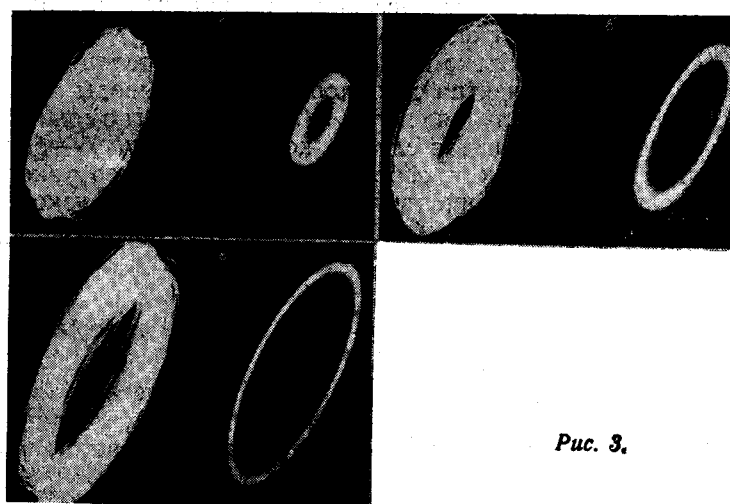


Рис. 3.

$\varphi = 150^\circ$ ;  $a_1 = a_2 = 0,8$ ;  $\varphi = 20^\circ$ ) для широкополосных процессов ( $\Delta f = 50 \text{ гц}$ ;  $f_0 = 5 \text{ гц}$ ) и рис. 3, а, б, в ( $a_1 = a_2 = 0,2$ ;  $\varphi = 45^\circ$ ;  $a_1 = a_2 = 0,4$ ;  $\varphi = 45^\circ$ ;  $a_1 = a_2 = 0,8$ ;  $\varphi = 45^\circ$ ) для узкополосных процессов ( $\Delta f = 1 \text{ гц}$ ;  $f_0 = 5 \text{ гц}$ ). Полученные экспериментальные данные подтверждают теоретические выводы. На основании экспериментальных данных можно сделать следующие выводы:

1) векторная сумма процессов  $\xi(t)$  и  $\eta(t)$ , которая характеризуется вектором  $\vec{E}(t) = \vec{E}_x(t) + \vec{E}_y(t)$  и углом наклона  $\gamma(t)$ , образует фигуру рассеяния — эллипс, который при отношении сигнал/шум  $a=0$  переходит в круг;

2) угол наклона большой оси фигуры рассеяния совпадает с углом наклона большой оси эллипса (на фотографиях он расположен рядом с соответствующей фигурой рассеяния), полученного в качестве фазового портрета между гармоническими сигналами, замешанными в шумах. Это соответствие сохраняется вплоть до малых отношений сигнал/шум ( $a=0,1 \div 0,2$ ).

На рис. 4 представлен фазовый портрет между процессами  $\xi(t)$  и  $\xi'(t)$ . Если в исходном процессе содержится периодическая составляющая, то даже при малых значениях  $a$  ее наличие будет зафиксировано (на рис. 4  $a=0,2$ ).

Нетрудно заметить, что метод фазового портрета является одним из вариантов оптимального обнаружения детерминированных сигналов на фоне шумов (корреляционный прием), осуществляющегося по схеме [3] (рис. 5).

Как известно, результат интегрирования на выходе интегратора связан с апостериорной вероятностью наличия сигнала  $x(t)$ . Обнаружение с помощью метода фазового портрета сходно с обнаружением по схеме рис. 5, где вместо  $x(t)$  использован процесс  $\eta(t)$ . Сам фазовый портрет является интегральной картиной, полученной за время от 0 до  $T$  [время реализаций  $\xi(t)$  и  $\eta(t)$ ], свойства которой, как было показано ранее, определяются коэффициентом корреляции между  $\xi(t)$  и  $\eta(t)$ .

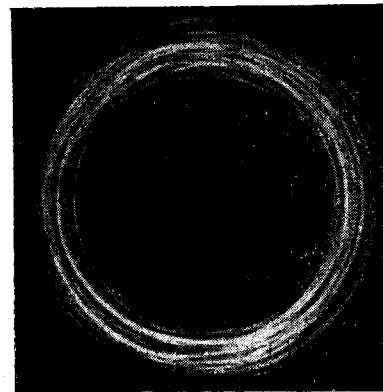


Рис. 4.

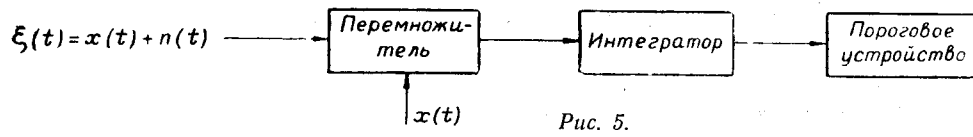


Рис. 5.

Максимальное значение функции распределения  $W(\gamma)$  связано с апостериорной вероятностью наличия сигнала.

### Выводы

При многоканальном приеме одного или нескольких сигналов, коррелированных между собой, метод фазового портрета позволяет обнаруживать слабые сигналы при соотношениях сигнал/шум вплоть до  $0,1 \div 0,2$ . Предполагается, что между шумами каналов корреляция отсутствует и спектр сигнала заключен в спектре шума. Метод фазового портрета является одним из вариантов метода оптимального обнаружения сигналов.

## Приложение

Взаимно корреляционная функция между реализациями  $\xi_i(t)$  и  $\eta_i(t)$  равна  
 $R_{\xi_i, \eta_i} = \langle \xi_i(t) \eta_i(t) \rangle$ , с учетом (1)

$$R_{\xi_i, \eta_i} = \langle x(t) y(t) + x(t) n_y(t) + y(t) n_x(t) + n_x(t) n_y(t) \rangle.$$

Принимая сигнал и шум, а также шумы  $n_x(t)$  и  $n_y(t)$  некоррелированными, получим

$$R_{\xi_i, \eta_i} = \langle x(t) y(t) \rangle = \langle x(t) \rangle \langle y(t) \rangle + R_{xy} = R_{xy}.$$

Считаем, что  $x(t)$  и  $y(t)$  имеют среднее значение, равное нулю.  $R_{xy}$  — взаимно корреляционная функция между сигналами  $x(t)$  и  $y(t)$ , которая просто может быть вычислена при предположении, что  $x(t) = E_{0x} \cos \omega_0 t$ ,  $y(t) = E_{0y} \cos(\omega_0 t + \varphi)$ ; вычисление по формуле

$$R_{xy} = \frac{1}{T} \int_0^T y(t) x(t + \tau) dt$$

дает

$$R_{xy}(\tau) = \frac{E_{0x} E_{0y}}{2} \cos(\omega_0 \tau + \varphi).$$

Коэффициент взаимокорреляции составляет

$$\rho(\tau) = \frac{R_{\xi_i, \eta_i}}{\sigma_\xi \sigma_\eta} = \frac{R_{xy}}{\sigma_\xi \sigma_\eta},$$

где  $\sigma_\xi = \sqrt{\sigma_x^2 + \sigma_{nx}^2}$ ,  $\sigma_\eta = \sqrt{\sigma_y^2 + \sigma_{ny}^2}$  — среднеквадратические отклонения  $\xi_i(t)$  и  $\eta_i(t)$  соответственно.

Ранее было наложено условие, что шумы нормированы по среднеквадратическому, следовательно,  $\sigma_{nx} = \sigma_{ny}$ . Среднеквадратические гармонических сигналов  $\sigma_x$  и  $\sigma_y$  соответственно равны:

$$\sigma_x = \frac{E_{0x}}{\sqrt{2}}, \quad \sigma_y = \frac{E_{0y}}{\sqrt{2}}.$$

Имея в виду, что отношения сигнал/шум по каналам равны:  $a_1 = \frac{E_{0x}^2}{2 \sigma_{\text{ш}}^2}$ ;  $a_2 = \frac{E_{0y}^2}{2 \sigma_{\text{ш}}^2}$ , окончательно получим

$$\rho(\tau) = \frac{E_{0x} E_{0y} \cos(\omega_0 \tau + \varphi)}{2 \frac{E_{0x} E_{0y}}{2} \sqrt{1 + \frac{1}{a_1}} \sqrt{1 + \frac{1}{a_2}}} = \frac{\cos(\omega_0 \tau + \varphi)}{\sqrt{1 + \frac{1}{a_1}} \sqrt{1 + \frac{1}{a_2}}}.$$

$$\text{При } a_1 = a_2 = a \quad \rho(\tau) = \frac{\cos(\omega_0 \tau + \varphi)}{1 + \frac{1}{a}}.$$

## Л И Т Е Р А Т У Р А

1. Б. Р. Левин. Теория случайных процессов и ее применение в радиотехнике. М., «Советское радио», 1960.
2. Е. С. Вентцель. Теория вероятностей. М., «Наука», 1964.
3. В. И. Тихонов. Статистическая радиотехника. М., «Советское радио», 1966.

*Поступила в редакцию  
1 апреля 1968 г.*